基于位姿状态的激光雷达点云帧间编码方法

李少良 郑明魁 石元龙 张承琰 1 LI Shaoliang ZHENG Mingkui SHI Yuanlong ZHANG Chengyan

摘 要

激光雷达动态获取点云压缩在智能驾驶领域具有重要应用。为了应对点云序列时域冗余问题,本文设计 了基于位姿状态的激光雷达点云帧间编码方法。在动态获取点云场景中, 点云在三维空间上分布广泛且 稀疏。对此,将其映射到二维距离图上。并在此基础上,结合激光雷达位姿关系,提出了一种高效的帧 间预测编码方法,以消除时域冗余。由于三维物体遮挡的原因,激光雷达运动时易导致预测距离图产生 空洞现象,影响预测编码性能。采用空洞填补方法可提高算法预测精度,并对预测残差进行量化和压缩。 实验结果表明,相较于 G-PCC 等编码方法,所提出的方法在编码性能方面表现更为优越。

关键词

激光雷达动态获取点云;点云压缩;距离图;空洞填补

doi: 10.3969/i.issn.1672-9528.2024.04.028

0 引言

点云是三维空间中由点组成的集合, 其中每个点包含三 个坐标信息 (x, y, z) 以及属性信息 [1]。三维点云在智能驾驶等 领域有着广泛的应用,根据点云用途的不同,可分为三类[2], 其中动态获取点云适用于无人驾驶等,表示运动场景。点云 应用广泛,但数据庞大,对存储和传输具有较大的挑战,因 此设计高效的点云数据压缩方法对于点云相关应用是十分有

国际运动图像专家组(MPEG)发布了TMC13压缩测 试模型,也称为基于几何的压缩框架(G-PCC)^[3]。G-PCC 在八叉树编码^[4]基础上进行了改进,借鉴了 Mekuria 等人的 基于块的方法[5],子立方体中的每个点坐标信息都表示为每 个节点的二进制占用码,采用基于上下文的算术编码器实现 几何压缩。针对激光雷达动态获取的点云序列, G-PCC 采用 帧内编码方法进行编码。在连续的点云序列中, 相邻帧点云 在空间上重复的场景信息较多。若采用帧内编码方法,则算 法会重复编码相同的场景信息,浪费编码资源。针对 G-PCC 编码动态点云序列时间复杂度较高、时域冗余较大的问题, MPEG 提出了具有运动补偿和运动估计的 Inter-EM^[6] 点云帧 间编码方案。InterEM 是基于 TMC13 进行改进的,整个过 程可以分为全局运动估计与补偿、局部运动估计与补偿以及 帧间预测几何编码。随着计算机算力的不断提高,也逐渐出

目(2022-ZD-002)

现在 3D 空间使用深度学习进行编码的算法。Fan 等人 [7] 将 点云表示为八叉树结构, 分层构建八叉树熵模型, 为点云分 布建模提供了充分的上下文信息,同时提出了一个残差编码 框架来压缩潜在变量。Cui 等人[8]提出了一种基于八叉树的 Transformer 压缩方法,从点云中提取丰富的特征,可以有效 地压缩点云。但深度学习的算法需要耗费大量时间进行点云 数据集研究和训练,不符合车路协同领域的实时需求。

为应对基于八叉树的几何编码深层叶子节点需用更多比 特表示的问题,一些方法考虑将点云降维,以降低编码的复 杂度。Tu 等人 [9] 利用雷达扫描获取点云的特点,将激光雷达 的原始数据映射成 2D 图像的形式, 随后将图像序列转化为 视频,采用传统的视频压缩方法对点云数据进行压缩。Yu 等 人[10] 将激光雷达的先验信息用于点云投影的预测中,提出了 一种正则化点云投影算法,能够更好地利用点云的空间相关 性。Wang 等人[11] 在二维上将原始的大规模点云分割成小而 紧凑的区域,以实现空间冗余和显著区域分类,从而提升压 缩效率。转换到 2D 空间中的点云序列,不论帧内还是帧间, 相关性都有了很大的提升,使消除帧间冗余变成可能。

针对上述问题, 本文设计了一种基于位姿状态的激光雷 达点云帧间编码方法, 实现了连续点云序列的编码。点云在 进行帧间预测编码时,由于三维物体遮挡等原因,激光雷达 运动时易导致预测距离图产生空洞现象,降低预测编码的性 能。针对这个问题,本文在帧间编码框架的基础上,采用空 洞填补方法以提高预测帧的质量, 进而提高编码性能。

1 基于位姿状态的激光雷达点云帧间编码方法

1.1 编码框架简述

在连续的激光雷达点云序列中,物体的运动在空间上和

^{1.} 福州大学物理与信息工程学院 福建福州 350116 [基金项目]中国福建光电信息科学与技术创新实验室(闽都 创新实验室)资助项目(2021ZR151):福州市科技重大项

时域上都具有连续性。通常激光雷达的工作频率是在 10 Hz 左右,相邻两帧点云的时间间隔为 0.1 s。因此,相邻帧点云的时间间隔比较小。动态获取点云是车辆在运行过程中车载激光雷达采集得到的,车辆很短的时间内只能前行较小的一段距离,若一辆车辆以 36 km/h 的时速行驶,那么在 0.1 s 内会前行 1 m 的距离。因此,在连续的点云序列中,相邻两帧点云具有较大范围的重复场景,存在巨大的时域冗余。本文针对时域冗余的问题,设计了基于位姿状态的帧间预测编码方案,如图 1 所示。给定一个连续的动态获取点云序列,将点云区分为两种类型:参考点云(I帧)和待编码点云(P帧)。 I 帧点云结合位姿信息预测 P 帧点云,一帧参考点云预测的待编码点云帧数由参数 n 决定。如果 n=3,那么一帧 I 帧便预测三帧 P 帧,即该点云序列是以"IPPPIPPPI···"的形式进行编解码。

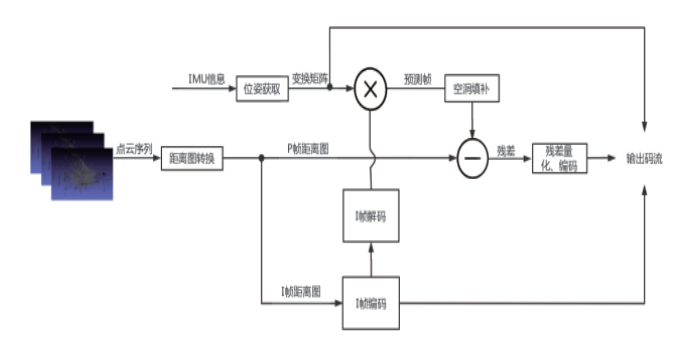


图 1 基于位姿状态的激光雷达点云帧间编码框架

激光雷达点云松散的空间分布不太适合八叉树编码。本 文首先将稀疏分布的点云几何信息转化为二维距离图,以便 于后续编码。若测帧与P帧越相似,所需要编码的残差信息 越少,则时域冗余减少得越多。KITTI 数据集包含惯性测量 单元采集到的位姿变换信息,本文称该信息为 IMU 信息。本 文利用 IMU 信息计算变换矩阵,结合 I 帧的信息预测 P 帧点 云,进行帧间预测编码。帧间预测编码时,由于参考点云存 在三维物体遮挡,导致预测点云较待编码点云相比缺失一部 分, 出现空洞区域, 降低了编码性能。针对这个问题, 本文 结合三维视频编码技术中的空洞填补方法,对预测图进行空 洞填补。对于 P 帧, 最终只需要编码预测帧与原始帧的预测 残差。本文对预测残差做量化编码操作,进一步压缩了数据。 而 I 帧作为参考帧,信息非常重要,因此选择 JPEG-LS 无损 编码。最终传输的码流由三部分组成:变换矩阵、预测残差 和 I 帧编码信息。本文设计的基于位姿状态的激光雷达点云 帧间编码方法能有效地降低连续点云序列的时域冗余,编码 性能较高。

1.2 变换矩阵获取

为了更加准确地预测P帧,降低更多的时域冗余,需要借助变换矩阵进行点云预测。变换矩阵是寻找两帧点云之

间最大重叠部分的旋转和平移信息,也就是计算6个自由度 (6DoF)的变换信息,本文采用的KITTI数据集也携带有加速度等信息,利用该信息能够计算得出相邻帧点云的变换矩阵。IMU信息是设备传感器直接测量得到的数据,最接近原始变换的信息,故计算得到的变换矩阵较准确。

本文采用I帧点云的坐标系作为参考,计算I帧与P帧之间对应的变换矩阵M。变换矩阵是利用IMU信息中的平移加速度($\hat{\mathbf{a}}$)和旋转速率($\hat{\mathbf{w}}$)计算得到。根据平移矩阵 $T_{3\times 1}$ 和旋转矩阵 $R_{3\times 3}$,得到变换矩阵M,其公式为:

$$\mathbf{M} = \begin{bmatrix} R_{3\times3} & T_{3\times1} \\ 0_{1\times3} & 1 \end{bmatrix}_{4\times4} \tag{1}$$

设定I帧点云为 $I_{i,i} \in [1, \cdots, N]$,i是I帧点云中的任意一点,N表示点云的点数。根据变换矩阵M和I帧点云便能预测得到P'帧点云,设定P'是P'帧点云中的任意一点,其公式为:

$$p'_{4\times 1} = M \times i_{4\times 1} = \begin{bmatrix} R_{3\times 3} & T_{3\times 1} \\ 0_{1\times 3} & 1 \end{bmatrix}_{4\times 4} \times i_{4\times 1}$$
 (2)

经过上述步骤实现了P帧点云的预测。预测点云的重合部分是与I帧相同的点云,I帧是已编码的点云,故重合部分可以不用编码,只需编码原始点云P与预测点云P'之间的差异部分。帧间预测编码不仅能减少编码的点云数据量,而且可以大幅度地减少时域冗余,有利于无人驾驶领域中点云数据的传输。

1.3 点云空洞填补算法

参考点云通过变换矩阵预测待编码点云,结合帧间预测编码减少编码的点云数据。但是参考点云在三维空间存在遮挡问题,导致点云产生空洞区域。帧间预测编码的目标是利用参考点云预测待编码点云,但是缺失部分不参与预测变换,故预测点云会缺失部分点云,即产生空洞区域。

视频编码算法中的空洞填补方法包括帧内修复技术和多 视点插值法,其中帧内修复技术可分为基于深度学习修复、基于纹理修复和结构修复三种。基于深度学习修复的方法需 要消耗大量时间,不能满足无人驾驶领域高实时性的要求。 距离图块与块之间的连续性不强,不适合采用基于纹理修复的方法。距离图像内的像素值具有一定的连续性。因此,本 文选择伍能举等人 [12] 提出的空洞填补算法,该算法也是属于基于结构修复的方法,对预测图进行空洞填补,可以有效地 改善空洞区域现象。

空洞区域的像素点是因为物体遮挡产生,因此该位置的像素点与邻域周围的像素点有较大的关联性。本文选择空洞像素点周围的 10 个邻域像素点作为参考点,根据像素点的远近关系设置不同的权重。如图 2 所示,设定中间像素 B_3 为空洞像素,将周围的 8 个近端邻域像素 $A_2 \sim A_4$ 、 B_2 、 B_4 、

 $C_3 \sim C_4$ 和两个远端邻域像素 B_1 、 B_5 作为参考像素,通过对不同权重的参考像素加权求和得到空洞像素值。8 个邻域像素离空洞像素最近,因此相关性最高,设置权值较大。距离图行内的像素值相关性较高,因此多增加了 B_1 、 B_5 两个参考像素点。两个像素点距离相对较远,称为远端邻域像素,设置权值较小。

| A_1 | A_2 | A_3 | A_4 | A_5 |
|-------|-------|-------|-------|-------|
| B_1 | B_2 | B_3 | B_4 | B_5 |
| C_1 | C_2 | C_3 | C4 | C_5 |

图 2 空洞像素与邻域填补像素的关系

10 个参考像素点可能还存在空洞点,并且通常不会存在 近端邻域像素和远端邻域像素全都为空洞点。因此,本文针 对参考像素点的空洞点数量进行讨论,根据不同情况,设定 不同的计算方法。设定 8 个近端邻域像素的空洞点数为 m, 2 个远端邻域像素的空洞点数为 n, 近端邻域像素点的权重为 ω_1 , 远端邻域像素点的权重为 ω_2 。

(1) 若 m = 0 且 n = 0, 则空洞填补公式为:

$$B_3 = \omega_1 (A_2 + A_3 + A_4 + B_2 + B_4 + C_2 + C_3 + C_4) + \omega_2 (B_1 + B_5)$$
(3)

(2) 若 0 < m < 8 且 0 < n < 2, 则空洞填补公为:

$$B_{3} = \frac{8\omega_{1}}{8 - m} (A_{2} + A_{3} + A_{4} + B_{2} + B_{4} + C_{2} + C_{3} + C_{4}) + \frac{2\omega_{2}}{2 - n} (B_{1} + B_{5})$$

$$(4)$$

(3) 若 m = 8 且 0 < n < 2, 则空洞填补公式为:

$$B_3 = \frac{10\omega_2}{2-n} (B_1 + B_5) \tag{5}$$

(4) 若 0 < m < 8 且 n = 2, 则空洞填补公式为:

$$B_3 = \frac{10\omega_1}{8 - m} \left(A_2 + A_3 + A_4 + B_2 + B_4 + C_2 + C_3 + C_4 \right) \tag{6}$$

在上述方法中,关键点是如何设置两个权重值 ω_1 和 ω_2 。由于 ω_1 对应近端邻域像素的权重,故值较大,而 ω_2 对应远端邻域像素,值较小。其中两个权重值需满足公式(7)。由于 $\omega_1>\omega_2$,故设 $0.100<\omega_1<0.125$, $0<\omega_2<0.1$ 。本文通过实验测试,最终设定 $\omega_1=0.105$, $\omega_2=0.08$ 。

$$8\omega_1 + 2\omega_2 = 1 \tag{7}$$

1.4 预测残差的量化与编码

帧间预测编码分析了参考点云 I 帧和原始 P 帧的联系,利用 I 帧的已知信息预测 P 帧,减少 P 帧的编码数据,P 帧最终只需编码预测残差,即原始 P 帧与预测帧 P' 的差异。残差先进行残差量化,再利用 I PEG-LS 无损压缩残差。根据残差绝对值的大小,设置两个阈值 th1 和 th2,将残差分为三部分,不同的数值区间设置不同的量化步长。量化后,原始数据范围从 -13 000 \sim 13 000 cm 映射为 -4000/ α \sim 4000 α cm 的连续整数。参数 α 是控制量化的程度,并且可用于调整压缩比和损耗。其中 α = (3/4) i ,i \in [0,1,…,10]。残差的局部相关性较强,

因此采用 JPEG-LS 无损地压缩量化后的残差数据。

2 实验结果

2.1 实验条件和评价指标

本次实验是在 Windows10 系统上完成,电脑配置是 AMD Ryzen 75800U @1.90 GHZ,16 GB 运行内存。实验选用了 KITTI 数据集中的不同场景,包括校园、城市、居民区和道路四种场景。每个场景各选择一个序列,每个序列选取100 帧进行测试。本文采用场景名称代替各自的序列名。实验是以"IPPPIPPPI···"的形式进行点云序列的编解码。

本文只考虑点云的几何属性压缩,采用码率作为压缩性能的评价标准。针对 KITTI 数据集,点云的解码质量评价选择 MEPG 提供的基于点对点几何的峰值信噪比(PSNR)^[13]。

$$PSNR = 10 \times \log_{10}\left(\frac{3P^2}{MSE(p2p)}\right)$$
 (8)

式中: P为每个序列点云内部点与点之间距离的最大值,MSE(P2P)为重建点云到原始点云的均方误差。

2.2 本文算法与 G-PCC 的压缩性能对比

图 3 展示了在 KITTI 数据集上,本文所提出的基于位姿状态的激光雷达点云帧间编码方法与 G-PCC 以及 Inter-EM的 R-D 曲线比较结果。

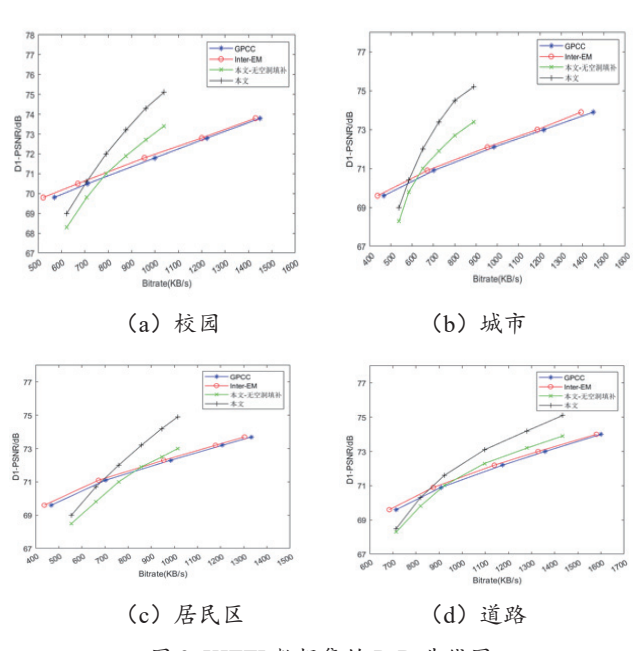


图 3 KITTI 数据集的 R-D 曲线图

从图 3 中可以看出,在四个场景中,本文方法在码率大于 800 kB/s 时,在相同的码率下,具有最高的 D1-PSNR,相比于 MEPG G-PCC 和 Inter-EM 的方法,性能有较大的提升,且优于本文未加空洞填补的编码方法。而在码率较低时,G-PCC 和 Inter-EM 的编码性能略胜一筹,这是由不同的量化方式导致的。G-PCC 的量化过程是通过合并周围点的坐标来

提高压缩率,在低码率时保持点云整体结构效果较好。相比 之下,本文使用的量化方式在低码率时会导致距离值较大的 点与密集区域的点丢失较严重,导致在重构后产生较大的误 差。

本文算法对城市场景的编码效果相对较好。因为该场景数据结构单一,包含的动态物体较少,所以预测准确度更高,降低了更多的时域冗余,能够实现更优的编码性能。另外,道路场景中本文方法的编码性能在四个场景中较差,主要原因是道路两边都是树木丛林,导致点云数据分布杂乱无序,这会使得在点云的二维表示中边界不清晰,导致编码性能差于其他序列。

动态获取的点云具有扫描范围较大、分布不均的特点,靠近激光雷达的区域点云较为密集,远离激光雷达的区域点云则较为稀疏。在使用八叉树编码时会产生许多空白的分块,既需要用比特信息记录是否有点的存在,又需要额外比特来记录点的存在情况,因此八叉树的方法很难在低误差的情况下取得较低的码率。本文方法可以在低误差的情况下实现高于 G-PCC 与 Inter-EM 的压缩率,有效减少空间和时间冗余,因此可以实现更好的 R-D 性能。另外,在自动驾驶领域中所需的即时定位与地图构建(simultaneous localization and mapping,SLAM)任务中可容忍的误差通常在 0.1 m 之内,而在这区间内本文算法拥有最优的编码表现。

本文为解决空洞现象设计了空洞填补的方法,使得预测结果更加准确,重建质量有所提高。从图 3 可以看出,在相同的码率下,本文的方法比无空洞填补的方案重建质量更高,表明了空洞填补方法的有效性。

3 结语

针对连续的点云序列中存在的时域冗余问题,本文借助相邻帧点云的位姿关系,设计了一种基于位姿状态的激光雷达点云帧间编码方法。本文利用 IMU 信息计算参考点云与待编码点云之间的变换矩阵,结合参考点云的信息预测待编码点云。针对预测图的空洞现象,本文进一步使用一种空洞填补的方法,提高了算法的预测精度和编码性能。实验结果显示,本文设计的方法具有较优的编码性能,并且编解码速度较快。

参考文献:

- [1] 李厚强, 李礼, 李竹. 点云编码综述 [J]. 中兴通讯技术, 2021, 27(1):5-9.
- [2]SCGWARZ S, PREDA MARIUS, BARONCINI V, et al. Emerging MPEG standards for point cloud compression[J]. IEEE journal on emerging and selected topics in circuits and systems, 2019, 9(1):133-148.
- [3]Point Cloud Compression Category 13 Reference Software, TMC13-v14.0[EB/OL].htx.int-evry.fr/software/MPEG/PCC/

TM/mpeg-pcc-tmc13/tree/release-v14.0.

- [4]ELSEBERG J, BORRMANN D, NUECHTER A.One billion points in the cloud an octree for efficient processing of 3D laser scans[J].ISPRS journal of photogrammetry and remote sensing,2013,76:76-88.
- [5]MEKURIA R, BLOM K, CESAR P.Design, implementation, and evaluation of a point cloud codec for tele-immersive video[J].IEEE transactions on circuits and systems for video technology,2017,27(4):828-842.
- [6] MPEG-3DG. Inter-prediction Exploration Model (Inter-EM) v4.0, document N00241[R]. Online: ISO/IEC JTC1/SC29/ WG7 MPEG, 2021.
- [7]FAN T, GAO L, XU Y, et al.Multiscale latent-guided entropy model for LiDAR point cloud compression[J].IEEE transactions on circuits and systems for video technology,2023,33:7857-7869.
- [8]CUI M, LONG J, FENG M, et al.OctFormer:efficient octree-based transformer for point cloud compression with local enhancement[J].Proceedings of the AAAI conference on artificial intelligence, 203, 37(1):470-478.
- [9]TU C, TAKEUCHI E, MIYAJIMA C, et al. Compressing continuous point cloud data using image compression methods[C]// IEEE Internatio- nal Conference on Intelligent Transportation Systems. Piscataway: IEEE, 2016:1712-1719.
- [10]YU Y, ZHANG W, LI G, et al.A regularized projection-based geometry compression scheme for LiDAR point cloud[J]. IEEE transactions on circuits and systems for video technology,2022,1:99.
- [11]WANG S, JIAO J, CAI P, et al.R-pcc: a baseline for range image-based point cloud compression[C]//2022 International Conference on Robotics and Automation (ICRA). Piscataway: IEEE, 2022: 10055-10061.
- [12] 伍能举,徐栋,杨依忠.图像空洞填补算法及其FPGA 硬件实现[J].合肥工业大学学报(自然科学版),2021,44(9):1216-1220.
- [13] MPEG.3DG. Common test conditions for point cloud compression, document N19324[R]. Alpbach: ISO/IEC JTC1/SC29/WG11 MPEG, 2020.

【作者简介】

李少良(1999—), 男, 福建莆田人, 硕士研究生, 研究方向: 点云编码。

郑明魁(1976—), 男, 福建福州人, 副教授, 博士, 研究方向: 点云编码与视频编码。

(收稿日期: 2024-02-09)